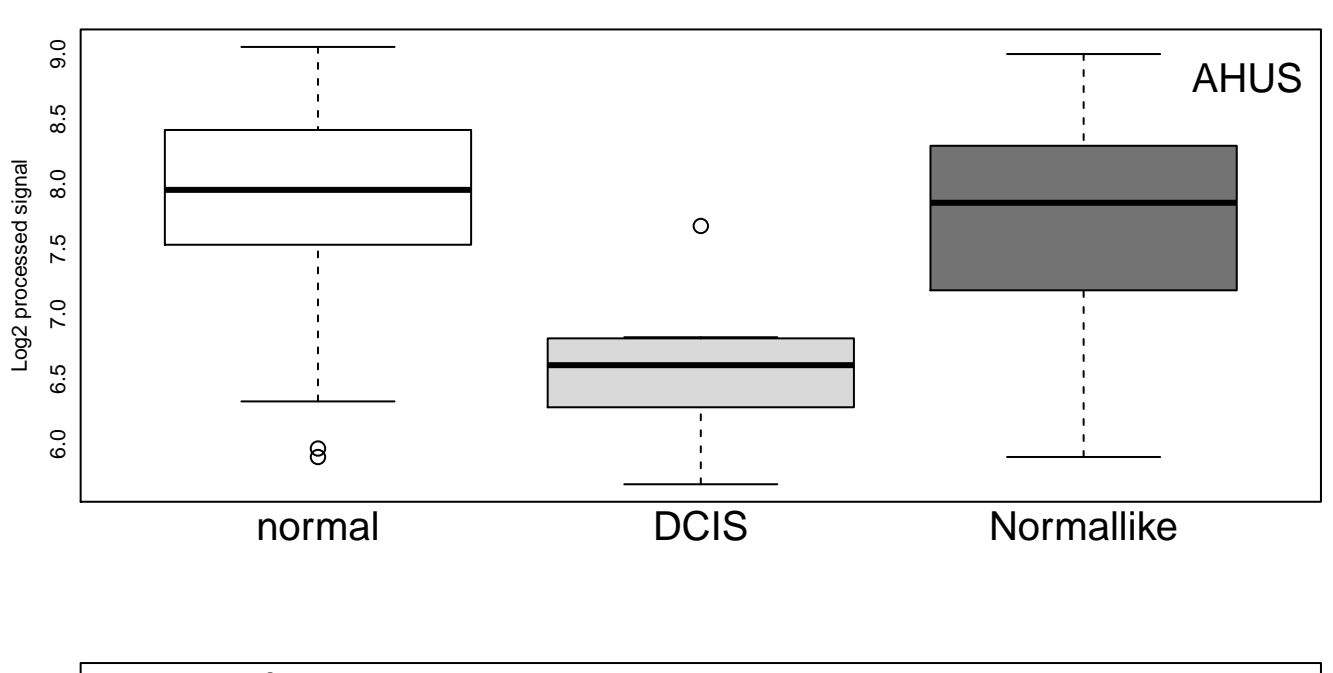
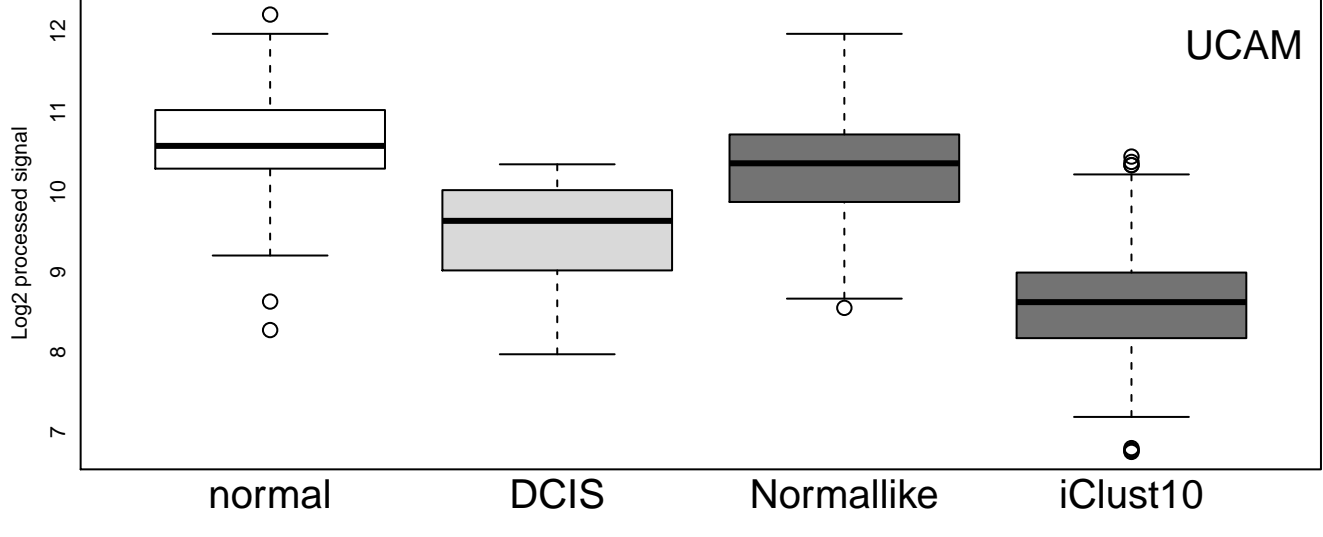
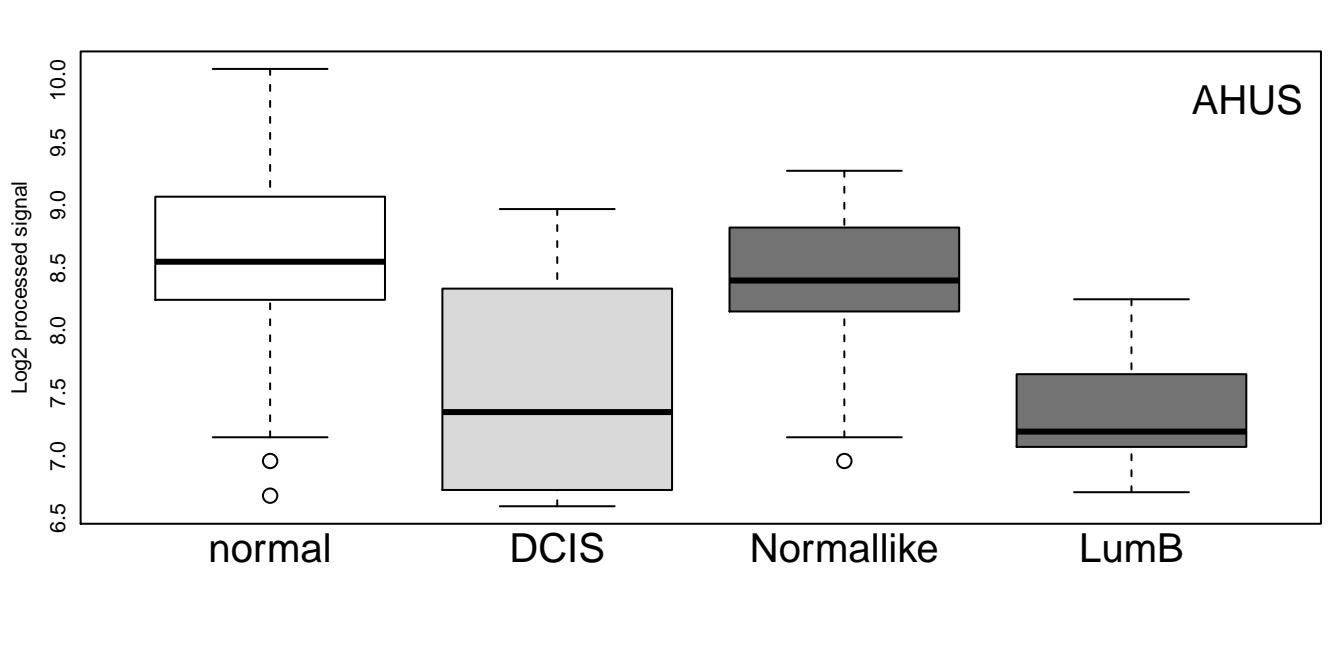
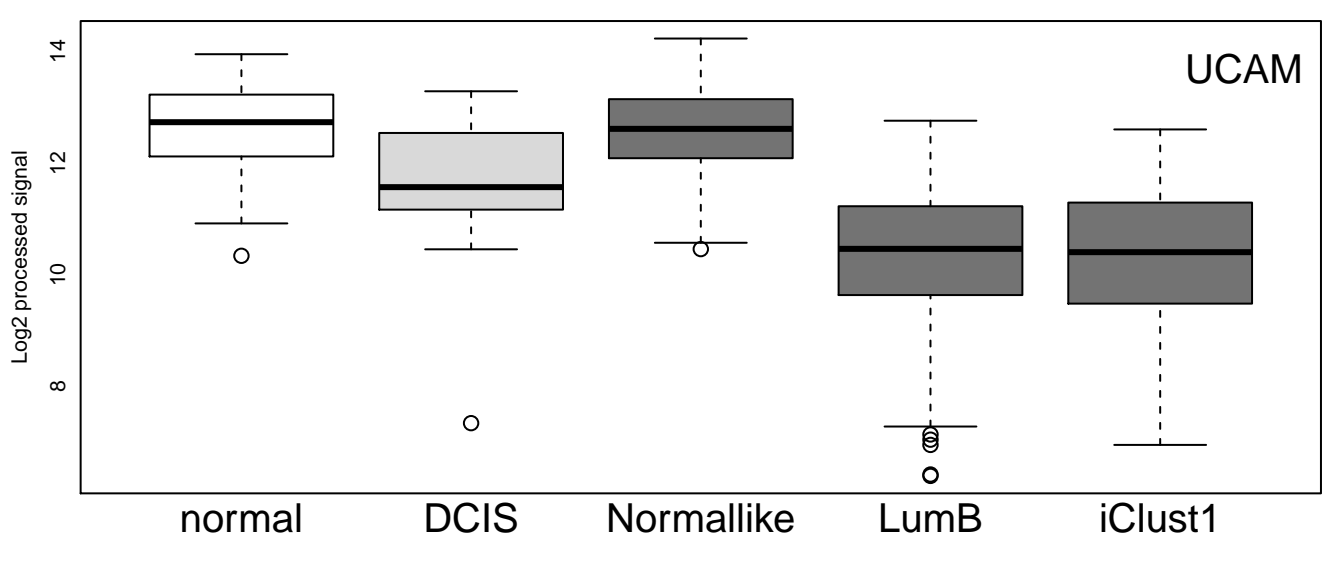
MIMAT0002820, hsa-miR-497-5p



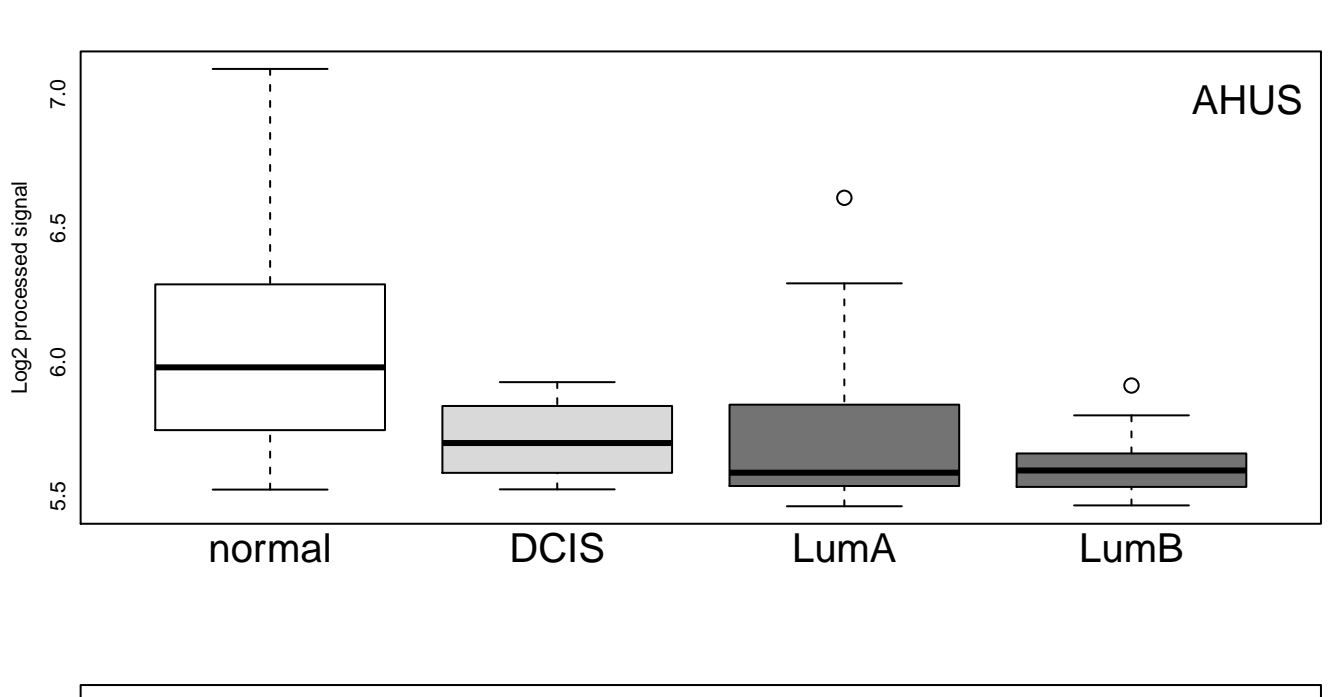


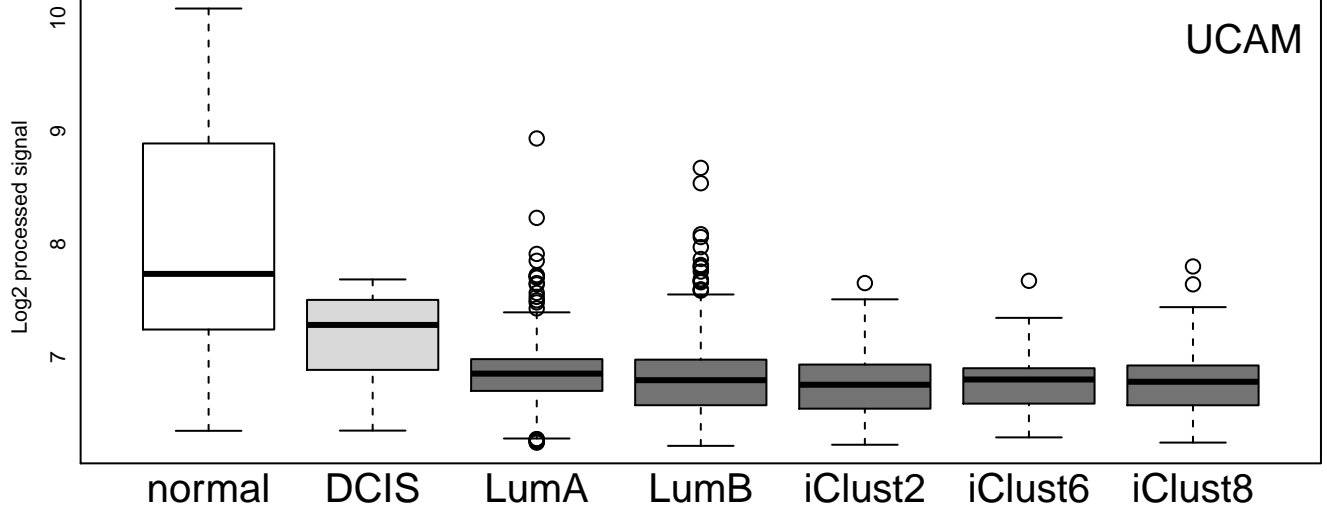
MIMAT0000097, hsa-miR-99a-5p



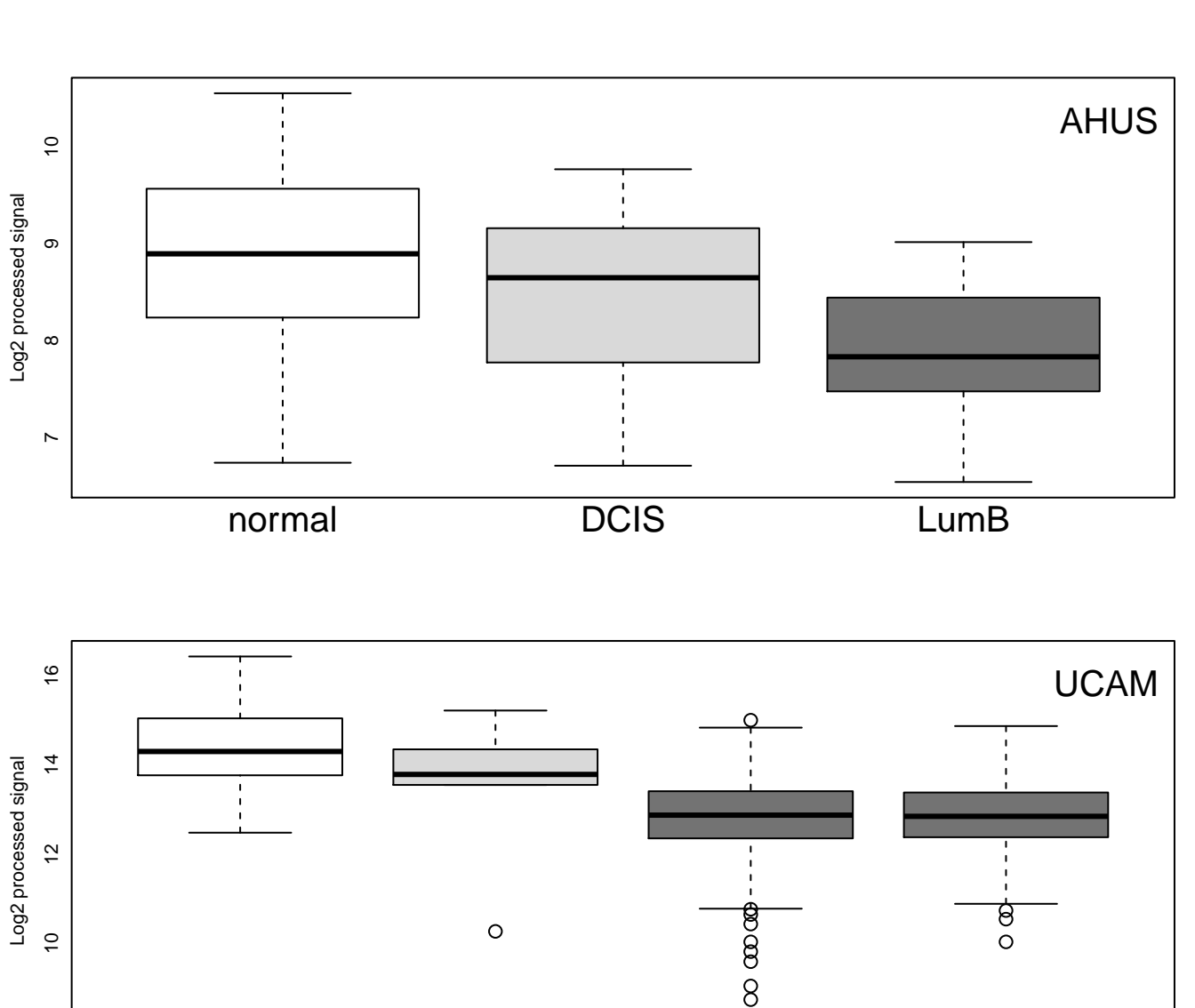


$MIMAT0000732, \quad hsa-miR-378a-3p$





MIMAT0000423, hsa-miR-125b-5p



DCIS

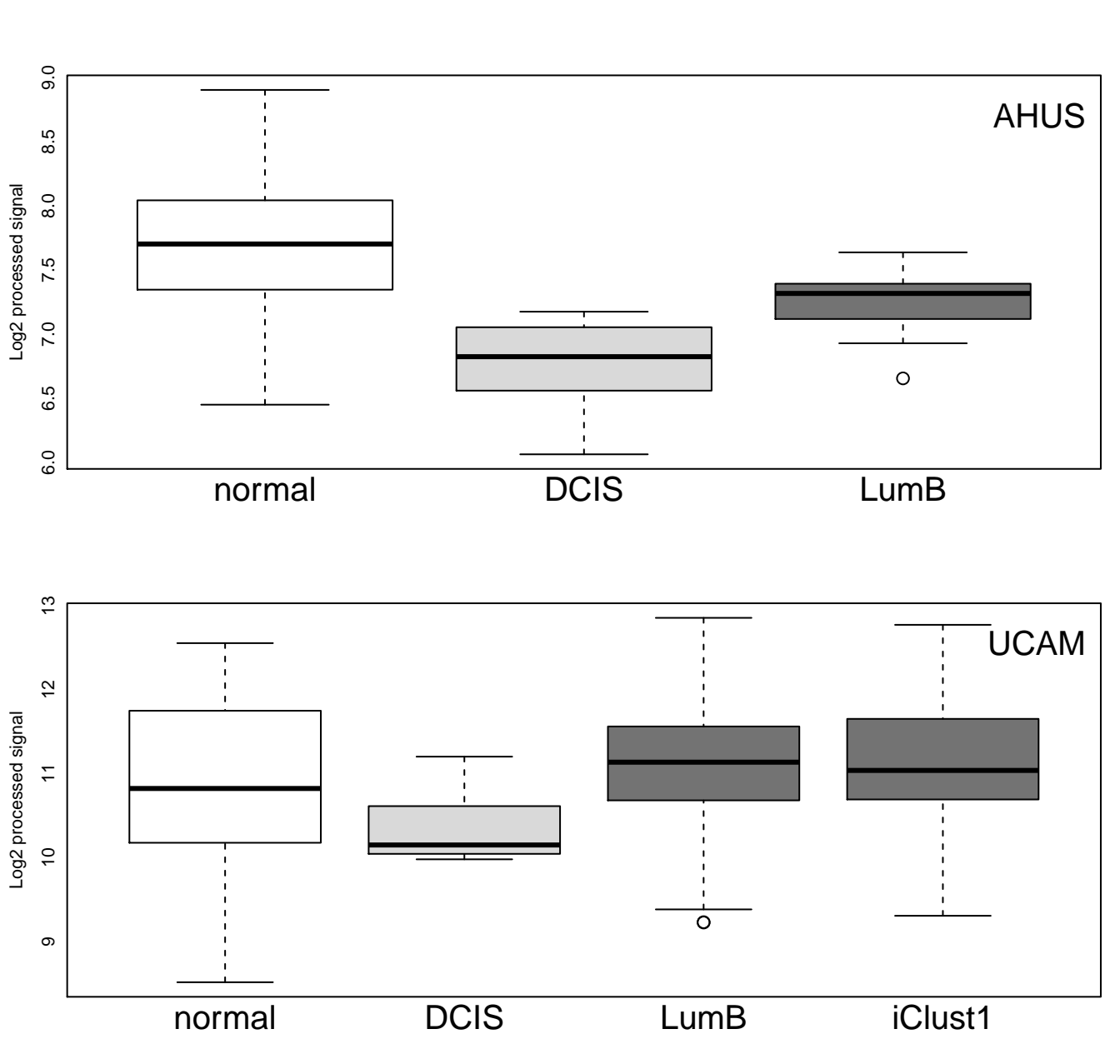
LumB

iClust10

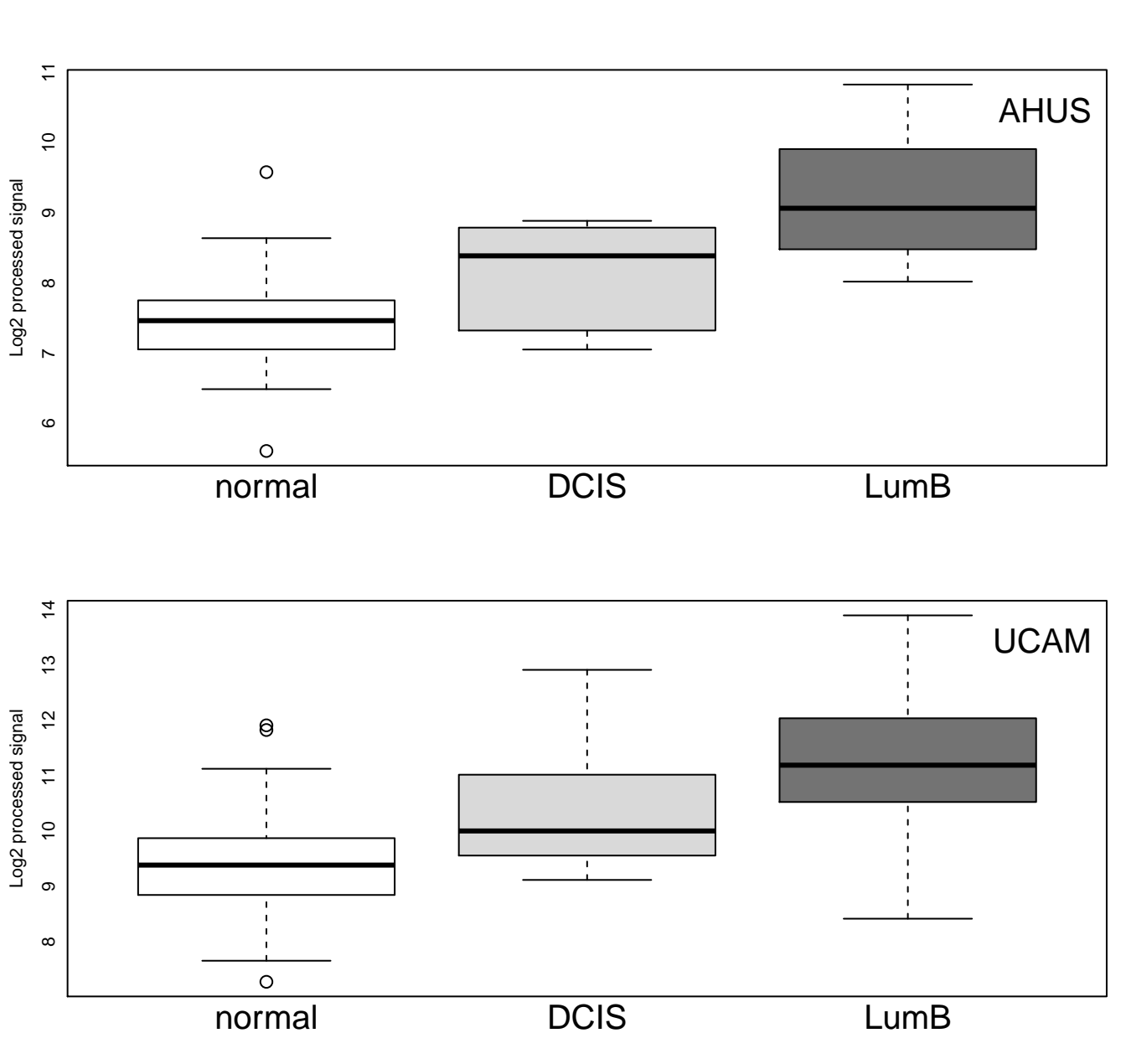
 ∞

normal

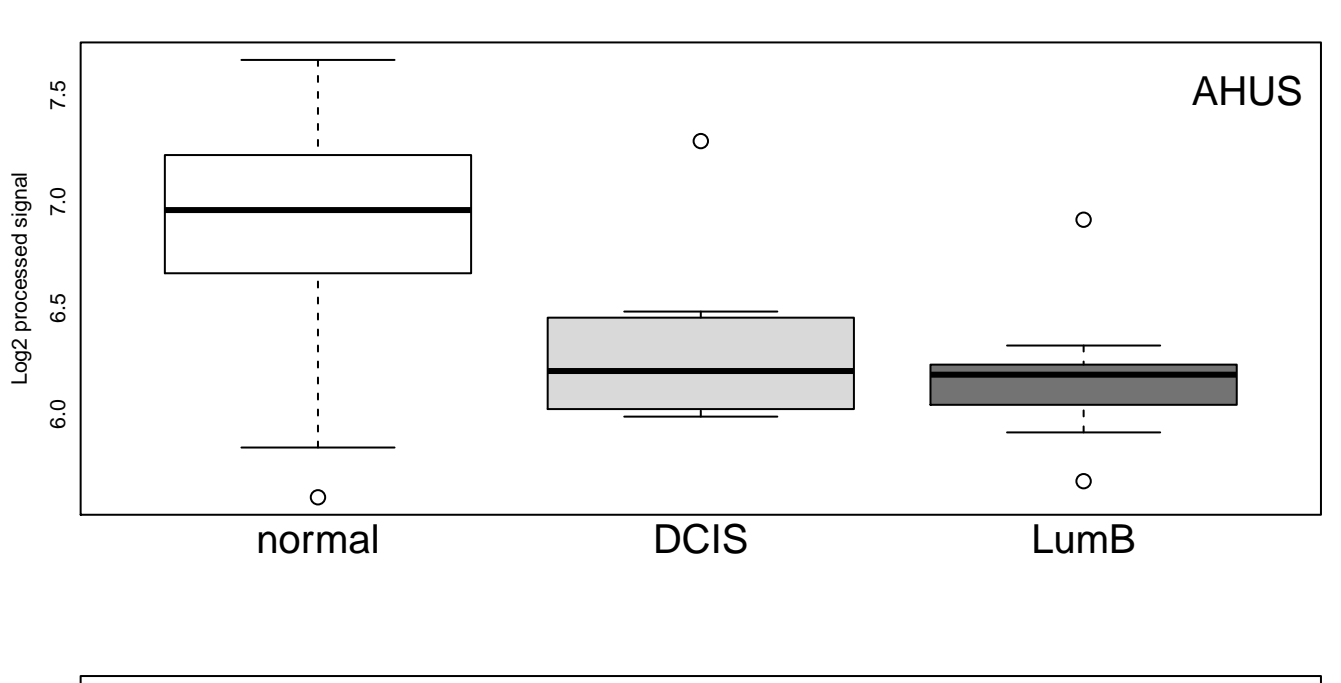
MIMAT0002819, hsa-miR-193b-3p

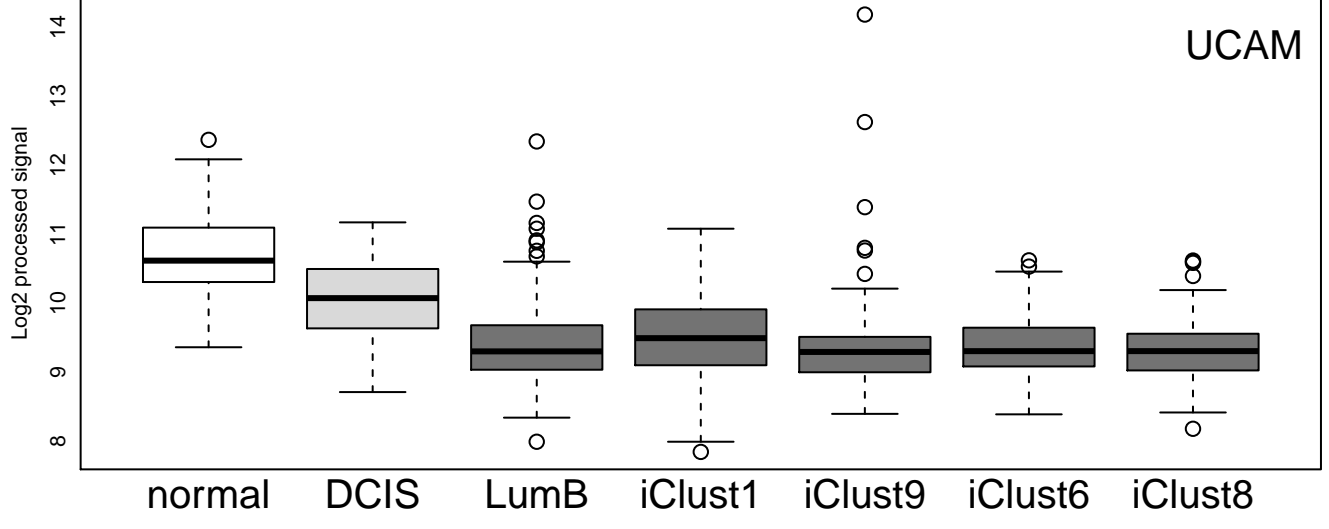


MIMAT0000753, hsa-miR-342-3p

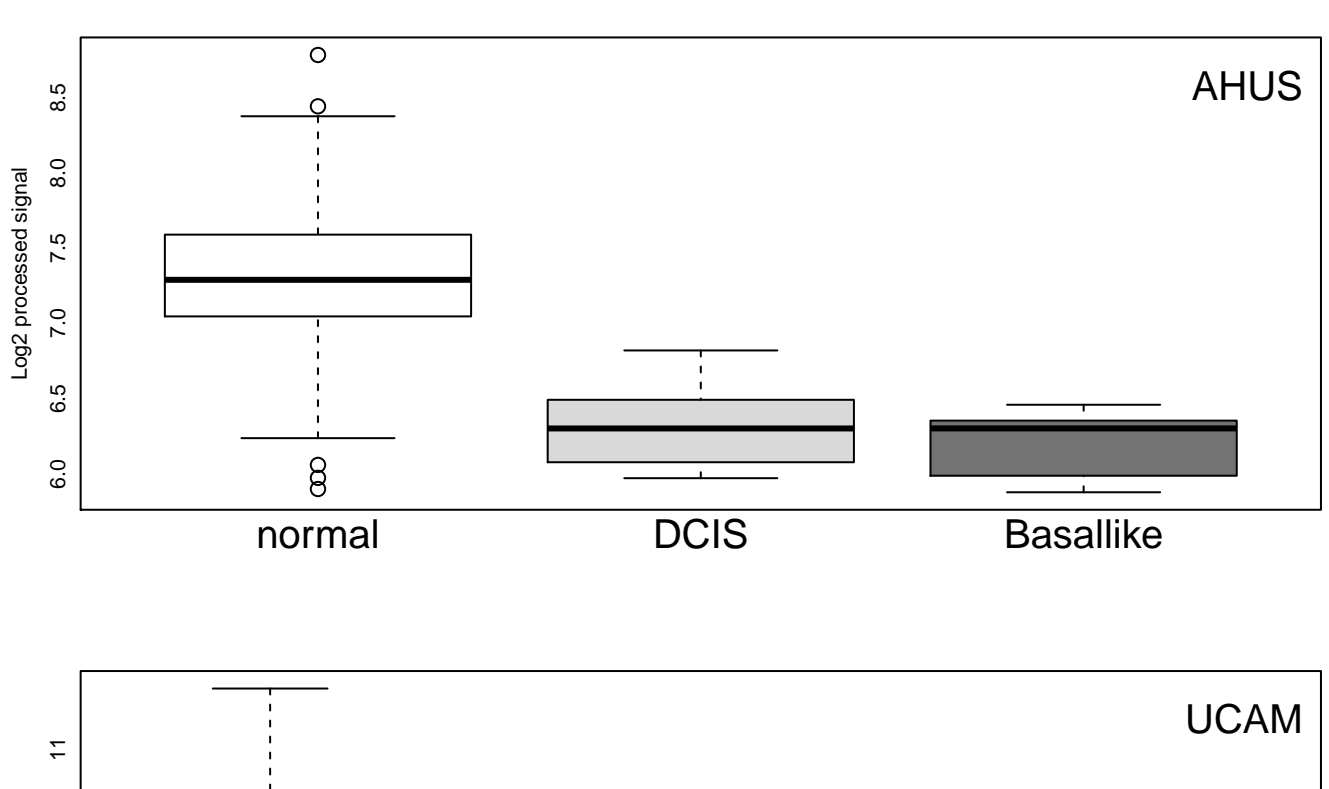


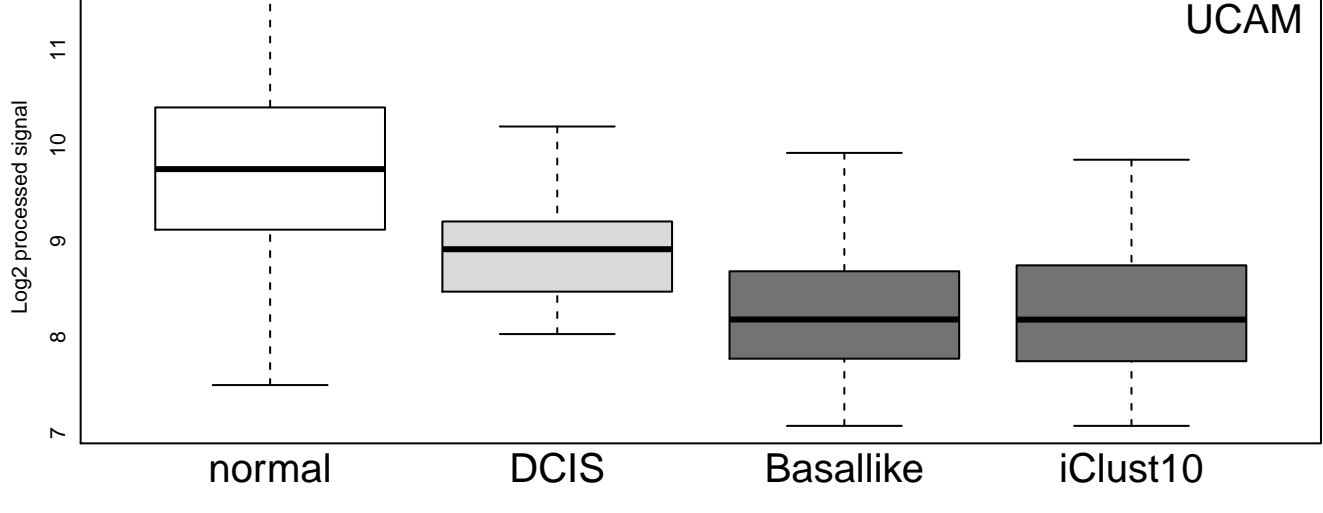
MIMAT0004597, hsa-miR-140-3p



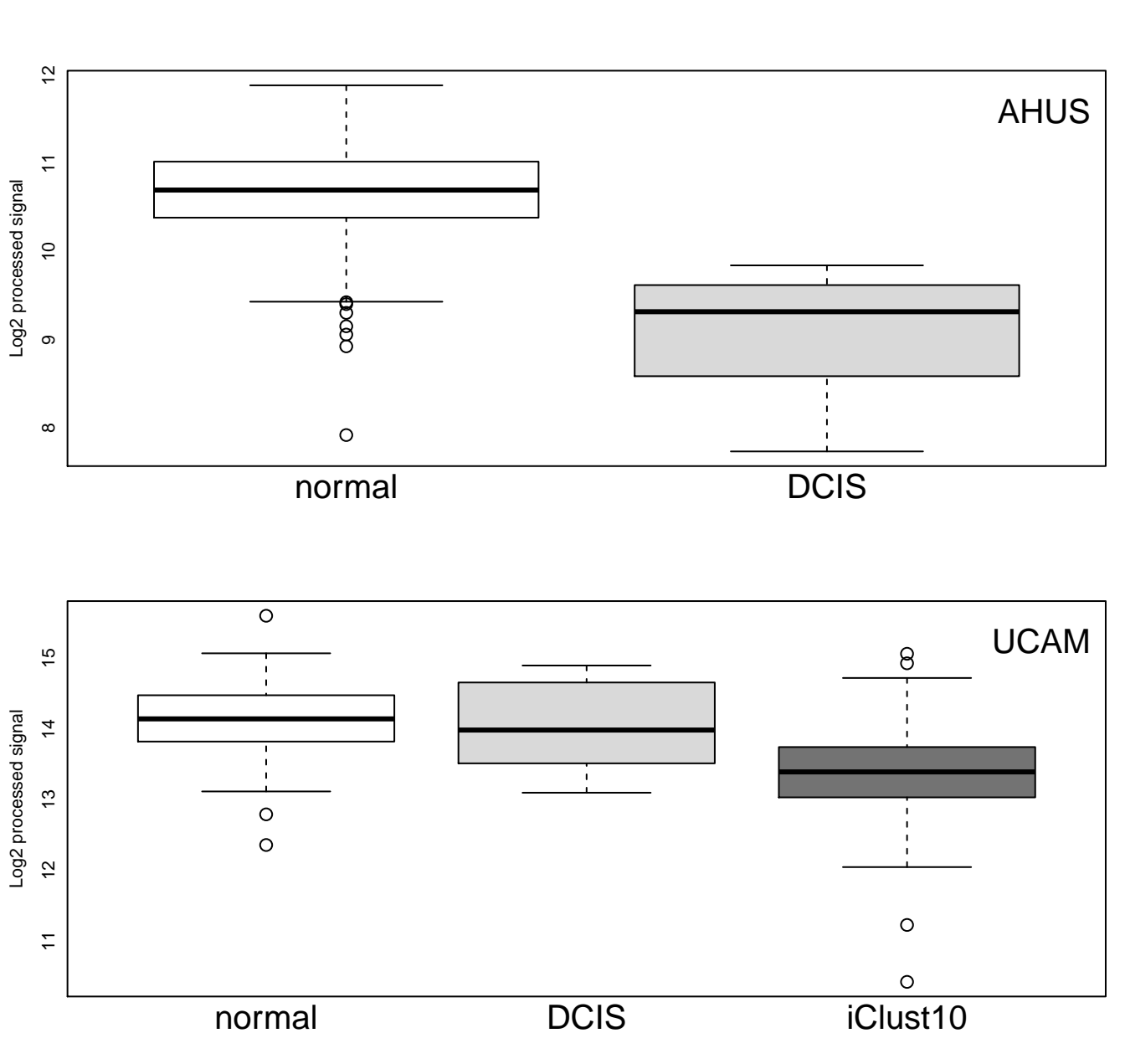


MIMAT0004614, hsa-miR-193a-5p

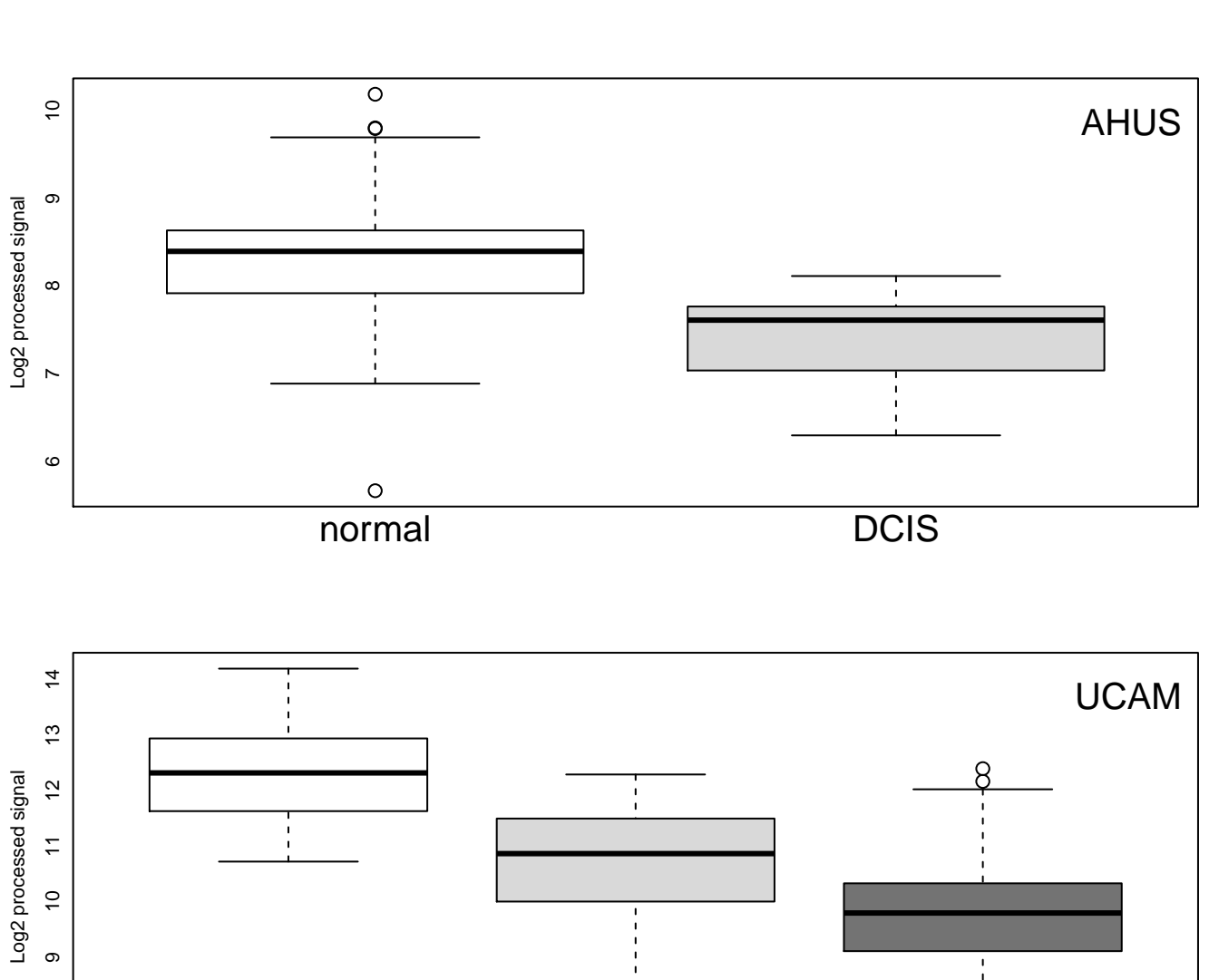




MIMAT0000064, hsa-let-7c-5p



MIMAT0000437, hsa-miR-145-5p



DCIS

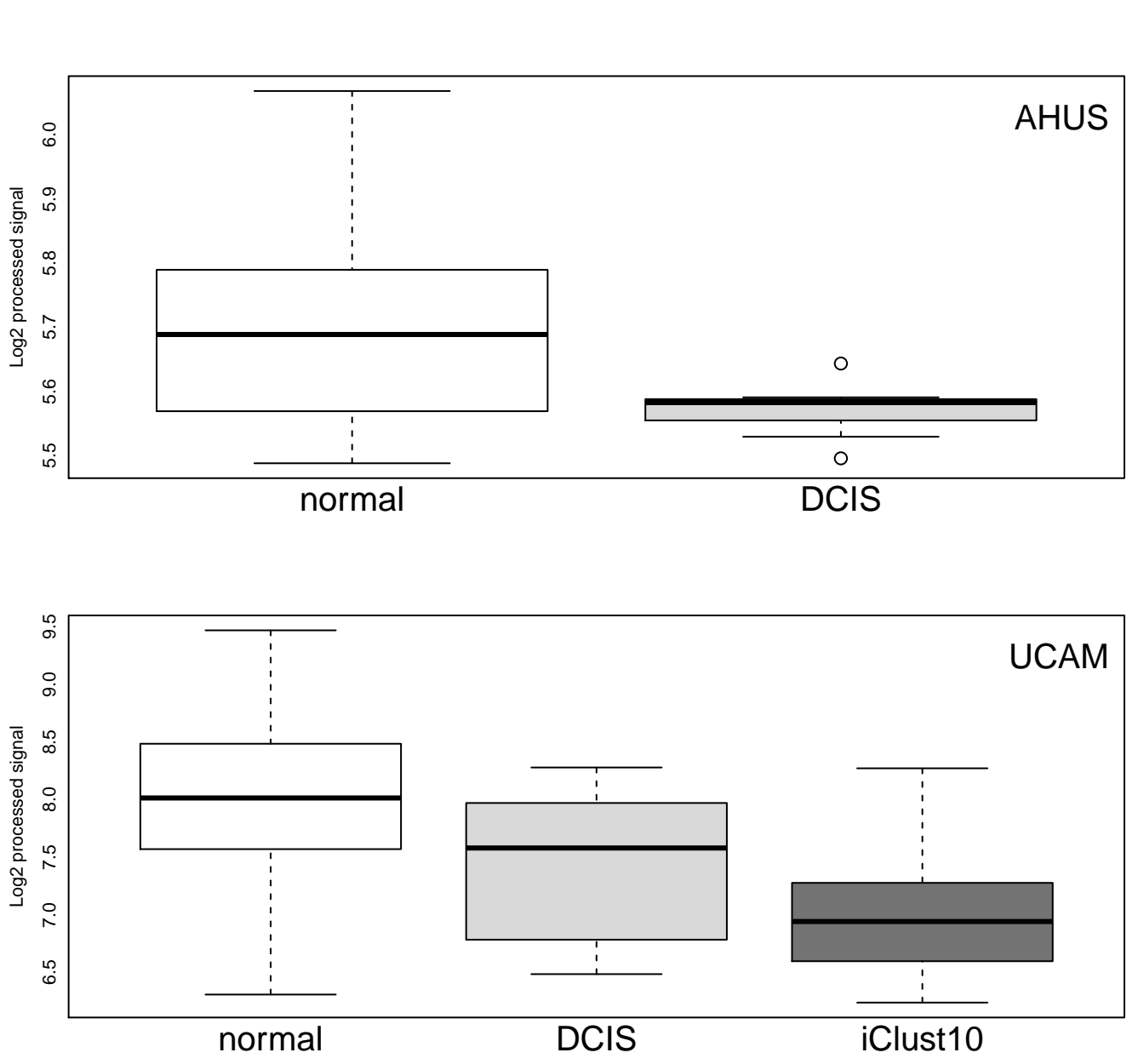
0

iClust10

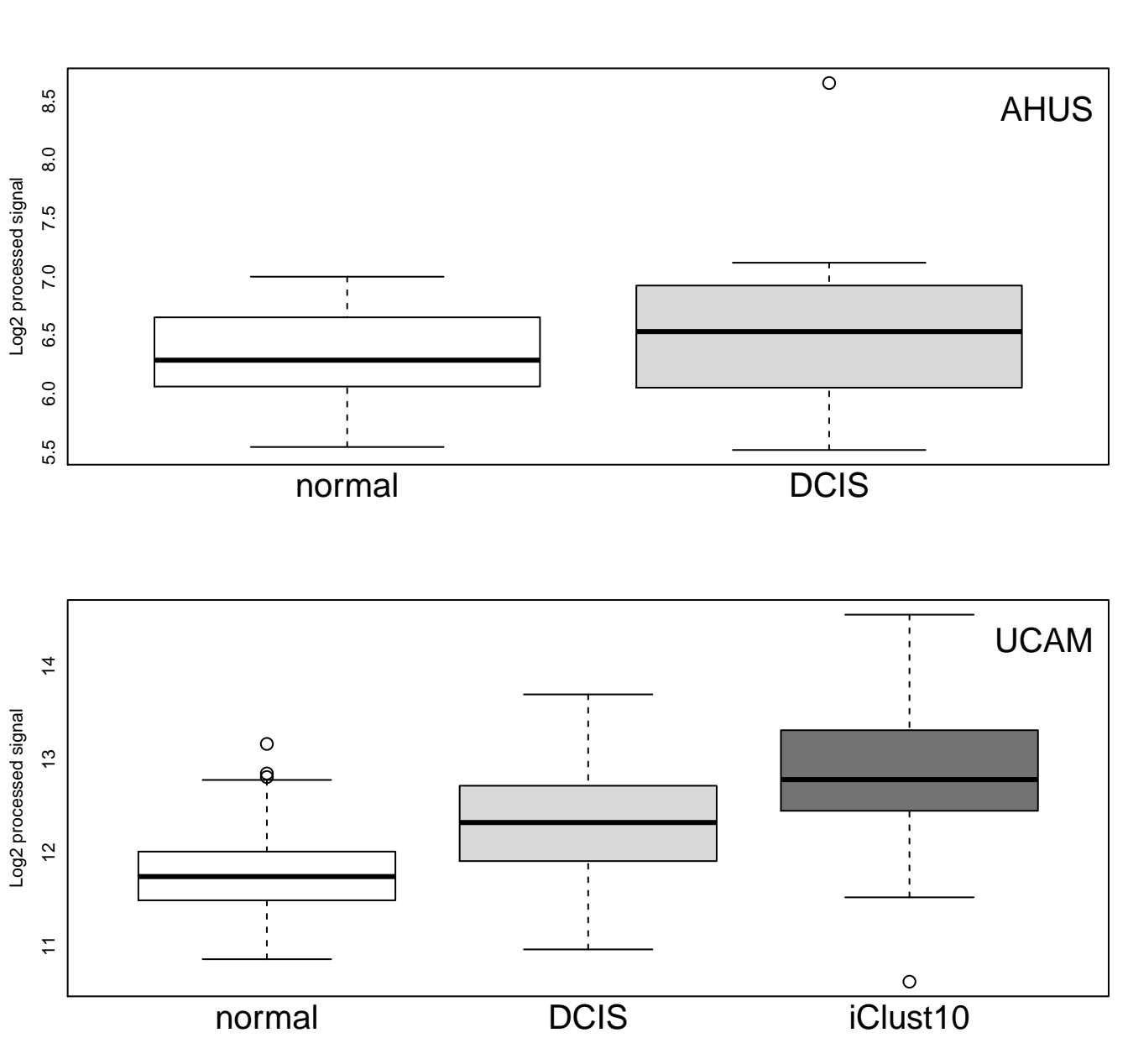
 ∞

normal

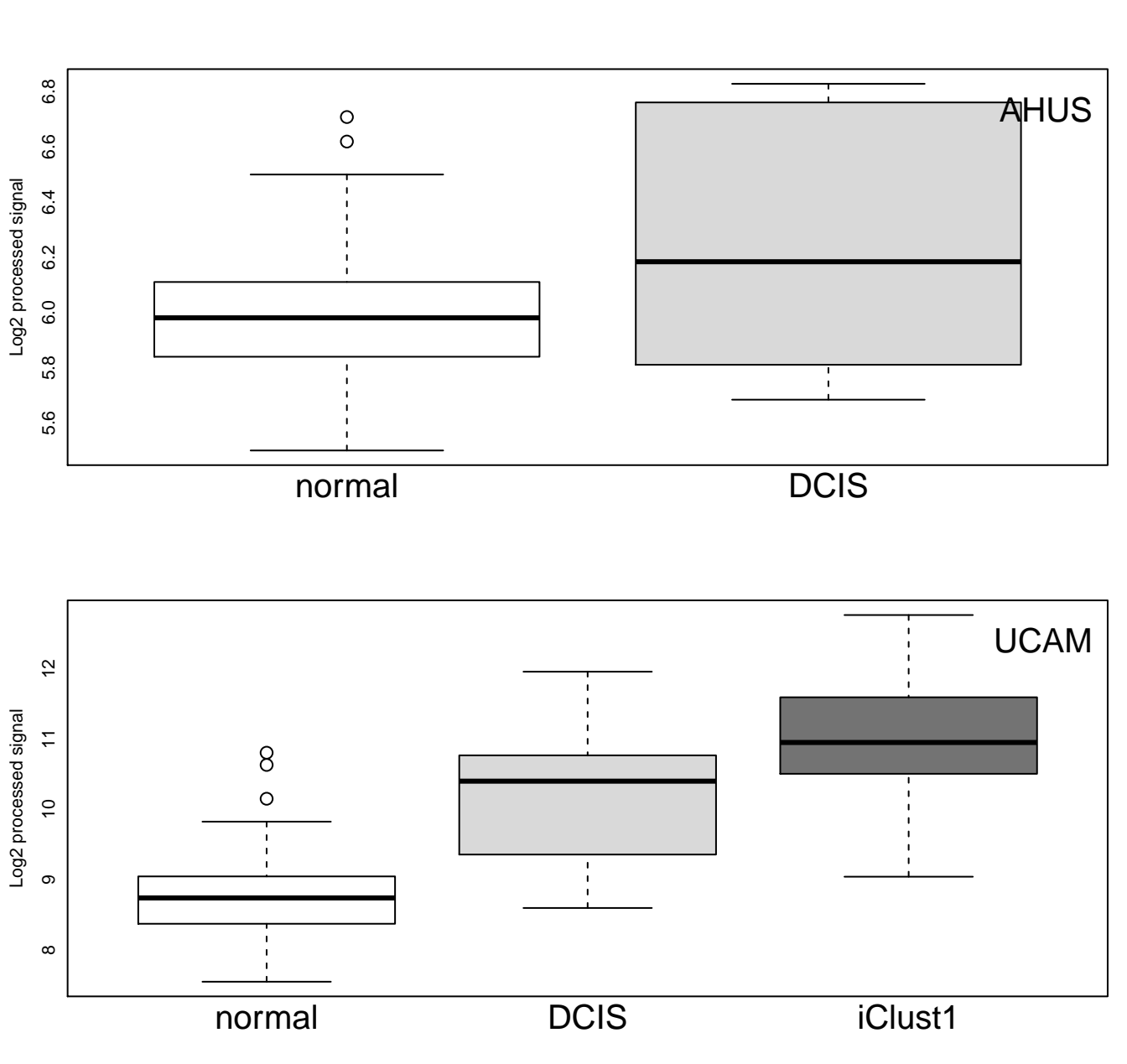
MIMAT0004601, hsa-miR-145-3p



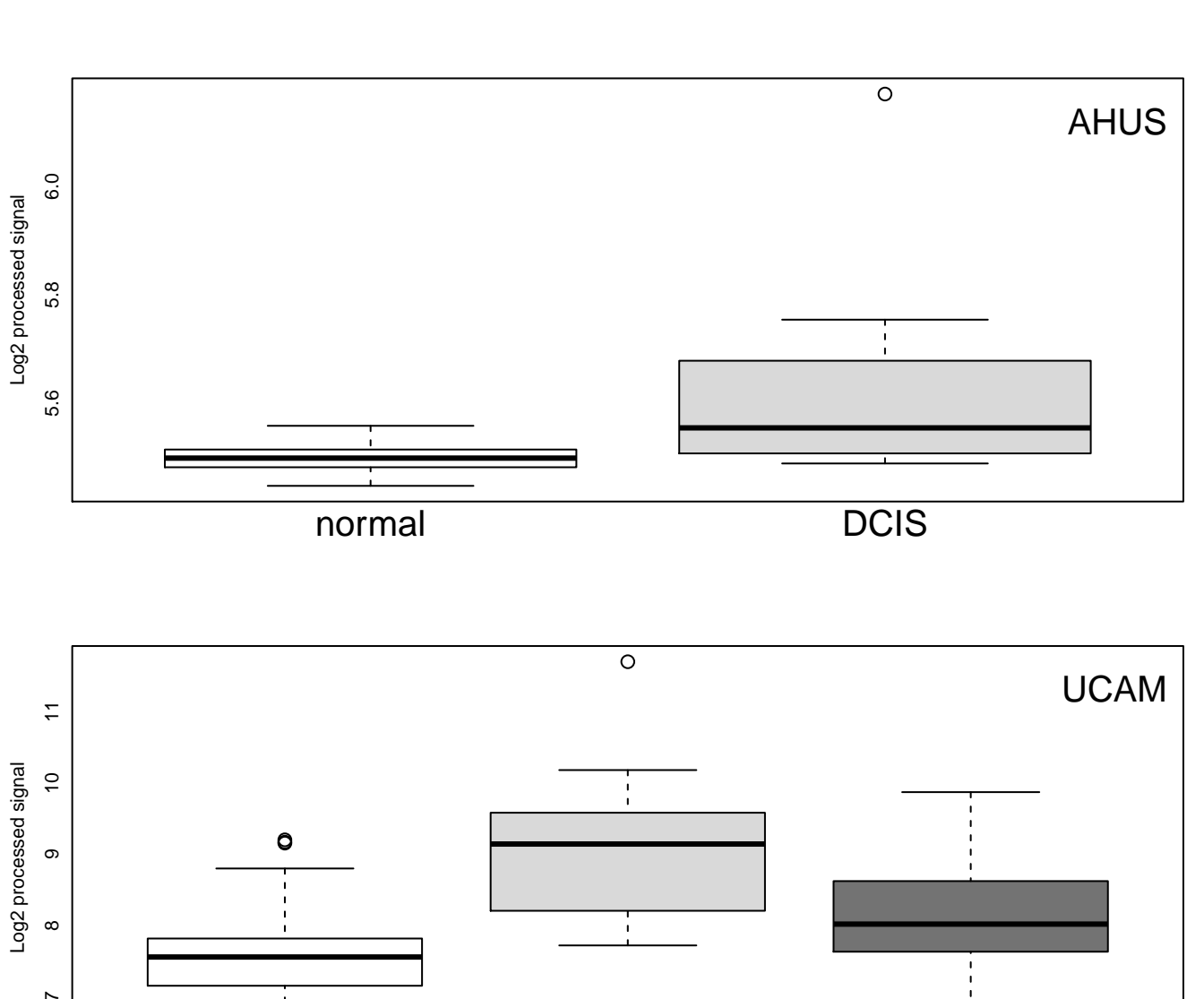
MIMAT0000680, hsa-miR-106b-5p



MIMAT0003393, hsa-miR-425-5p



MIMAT0000433, hsa-miR-142-5p



DCIS

normal

iClust8